

## بررسی تأثیر عملیات ترمومکانیکی بر زمان پیرسختی و مقاومت به خوردگی تنشی آلیاژ AI-7075

حمیدرضا فولادفر<sup>۱</sup>، بابک هاشمی<sup>۲</sup>، موسی یونسی<sup>۱</sup>

۱- کارشناسی ارشد، دانشگاه آزاد اسلامی واحد شهر مجلسی

۲- استادیار، دانشگاه شیراز

hamid\_ff@yahoo.com

### چکیده

در عملیات پیرسختی بهروش معمول، از آنجایی که به توزیع ریز و پراکنده رسوبات نیازمندیم، ناچار به انجام عملیات پیرسازی در دمای پایین، به منظور تشکیل مناطق GP به عنوان مکان جوانهزنی رسوبات پایدارتر می‌باشیم. از سوی دیگر در ماکریسم سختی به دست آمده، با افت مقاومت به خوردگی تنشی مواجه هستیم. در این تحقیق تأثیر انجام نورد سرد پیش از پیرسازی بر خواص مکانیکی و مقاومت به خوردگی تنشی آلیاژ آلومینیوم ۷۰۷۵ بررسی شده است. این عملیات ترمومکانیکی با ثابت نگهداشت درصد از دیاد طول یکنواخت و کاهش زمان پیرسازی، باعث افزایش استحکام و ارتقاء قابل ملاحظه مقاومت به SCC آلیاژ شد. نابجایی‌های ایجاد شده طی مرحله نورد، جایگزین مناسبی برای مناطق GP به عنوان مکان جوانهزنی رسوبات فاز ثانویه بوده و امکان انجام پیرسازی در دماهای بالاتر از دمای انحلال مناطق GP که منجر به تشکیل رسوبات پایدارتر و مناطق عاری از رسوب کوچک‌تر را فراهم می‌آورد و در نتیجه باعث بهبود مقاومت به SCC و کاهش قابل ملاحظه زمان پیرسازی می‌شود.

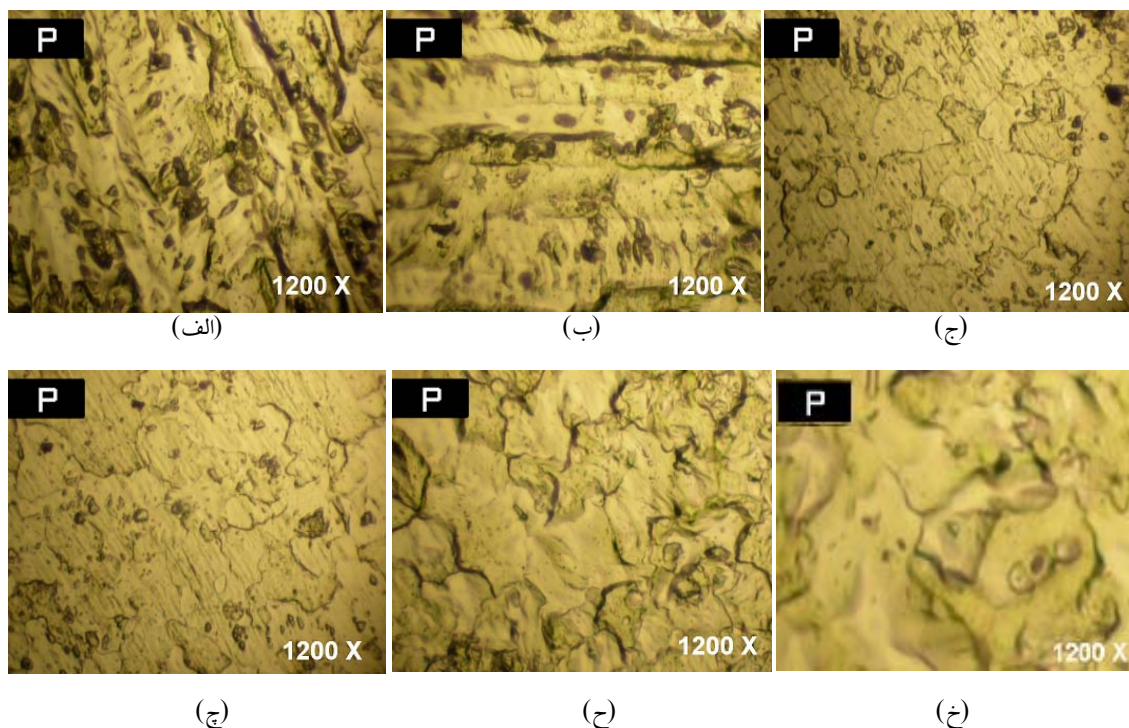
### واژه‌های کلیدی:

پیرسختی، عملیات ترمومکانیکی، SCC، آلومینیوم ۷۰۷۵

### - ۱- مقدمه

برای توجیه این کاهش مقاومت، پیشنهادهای مختلفی ارایه شده ولی آنچه مسلم است، ارتباط شدید این نوع خوردگی با مناطق عاری از رسوب کنار مرزدانه و رسوبات روی مرزدانه است. هرچه رسوبات درشت‌تر و فاصله آنها بیشتر باشد، مقاومت به SCC بالاتر است.

آلیاژهای آلومینیوم سری ۷xxx با توجه به استحکام بالا و دانسته پایین، استفاده گسترده‌ای در صنایع هوایی داشته و همچنین از مستعدترین گروههای آلیاژی به عملیات پیرسختی هستند. ولی در ماکریسم سختی به دست آمده طی عملیات حرارتی T<sub>6</sub>، تا حدود زیادی مقاومت به خوردگی تنشی خود را از دست می‌دهند.



شکل (۱): ردیف بالا: نمونه‌های محلول‌سازی شده در دمای  $470^{\circ}\text{C}$  با مدت زمان‌های (الف) ۱ ساعت (ب) ۳ ساعت (ج) ۴ ساعت؛ رسوبات قبل از ۴ ساعت در زمینه حل نشده و ساختار یکنواخت نیست. ردیف پایین: نمونه‌های نورد شده با کاهش سطح مقطع ۷۰٪ و محلول‌سازی شده در دمای  $470^{\circ}\text{C}$  با مدت زمان‌های (ج) ۱ ساعت (ح) ۳ ساعت (و) ۴ ساعت؛ نمونه‌ها پس از ۱ ساعت کاملاً یکنواخت شده و در ادامه فقط دچار رشد دانه می‌شوند.

در این تحقیق تأثیر انجام یک مرحله نورد سرد، پیش از پیرسازی بر خواص مکانیکی و دمای پیرسازی و نیز مقاومت به SCC آلیاژ آلمینیوم ۷۰۷۵ بررسی شده است.

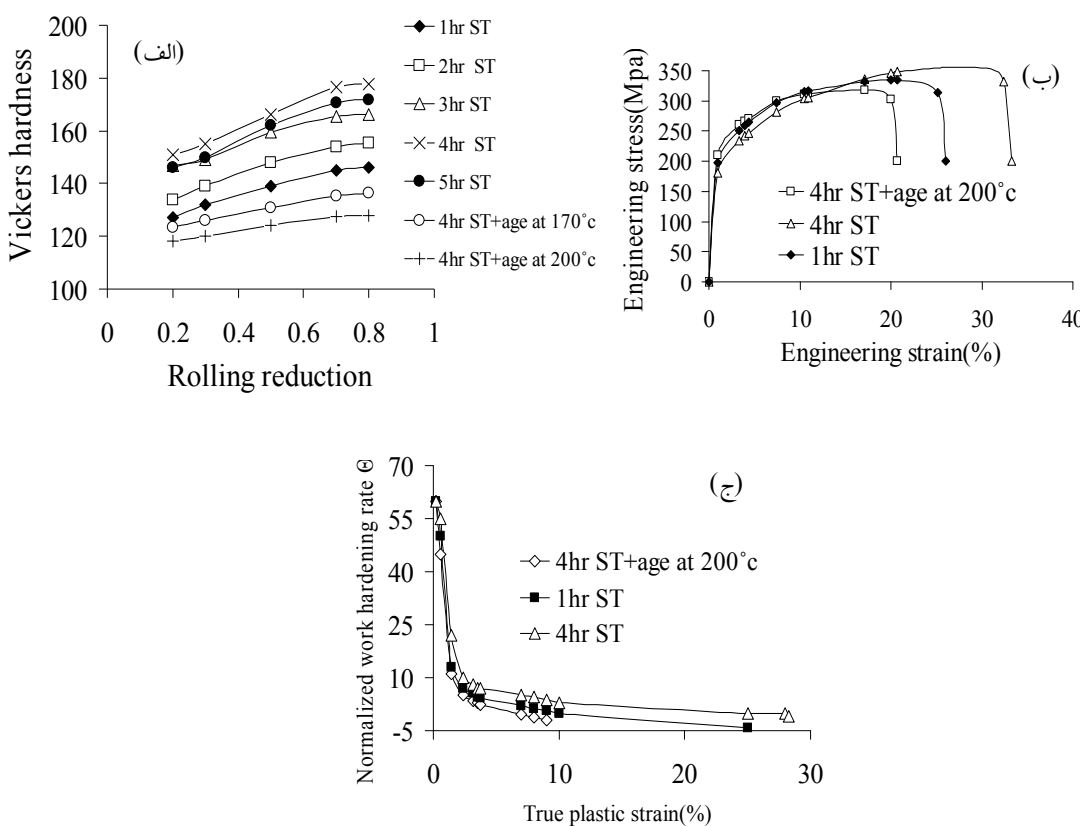
تلاش بر این بوده تا با جایگزینی نابجایی‌های ایجاد شده در طی عملیات نورد به جای مناطق GP، به عنوان مکان جوانه‌زنی رسوبات فاز ثانویه، قابلیت انجام پیرسازی در دماهایی بالاتر از دمای انحلال مناطق GP به دست آید و رسوبات پایدارتر و بزرگتر و با فاصله بیشتر در مرزدانه تشکیل شوند.

## ۲- روش تحقیق

آزمایشات بر روی یک ورق با ضخامت  $6\text{ mm}$  از آلیاژ آلمینیوم ۷۰۷۵ با قابلیت انجام عملیات حرارتی T<sub>6</sub> و با ترکیب  $5/6\text{wt\%Zn}$ ,  $2/5\text{wt\%Mg}$ ,  $1/6\text{wt\%Cu}$ ,  $0/5\text{wt\%Ti}$  انجام شد.

اولین راه کار برای بهبود مقاومت به SCC انجام یک مرحله پیرسازی در دمای بالاتر پس از عملیات T<sub>6</sub> است (T<sub>76</sub>) که منجر به کاهش استحکام در حدود ۱۰ تا ۱۵٪ می‌شود [۱ و ۳]. عملیات دیگر، موسوم به بازگشت و پیرسازی مجدد (retrogression and reageing) است که عبارتست از نگهداری نمونه پیرشده به روش معمول در دمای نسبتاً بالا برای مدت کوتاه و سپس پیرسازی مجدد در دمای پایین [۲]، که این روش به علت پایین بودن زمان نگهداری در دمای بالا، برای قطعات ضخیم مناسب نیست [۳].

تا کنون ادغام فرآیند پیرسختی با یک مرحله کار مکانیکی نظیر نورد، عبور از کانال‌های زاویه‌دار هم مقطع (ECAP) و ... غالباً برای ارتقاء خواص مکانیکی آلیاژها انجام شده است [۱۰ و ۱۴].



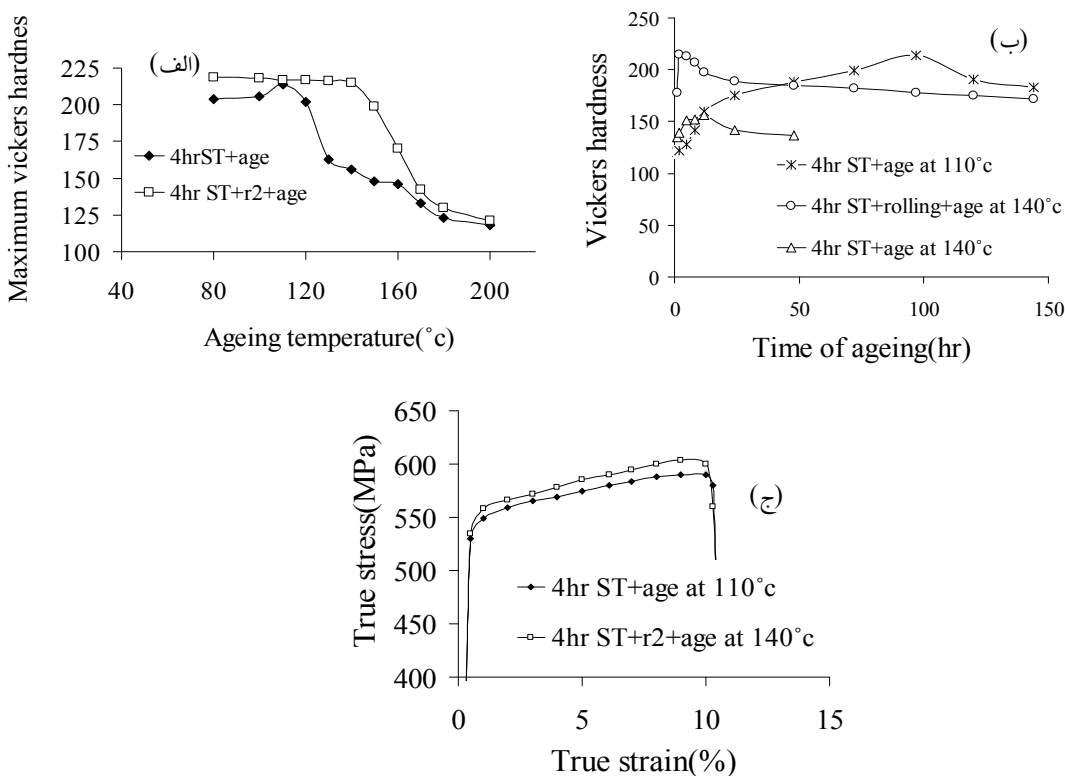
شکل ۲.(الف) نمودار سختی حاصل شده بعد از نورد بر حسب کرنش اعمالی برای مدت زمان‌های مختلف محلول‌سازی و دو نمونه پیرسازی شده در دماهای بالا (ب) نمودار تنش-کرنش مهندسی برای نمونه کامل محلول‌سازی شده، محلول‌سازی شده و پیر شده در دمای  $200^{\circ}\text{C}$  و ناقص محلول‌سازی شده و (ج) نمودار نرخ کارسختی بر حسب کرنش پلاستیک حقیقی برای سه نمونه مذکور.

دستگاه 8802 Instron با نرخ کرنش  $2 \times 10^{-3} \text{ Sec}^{-1}$  قرار گرفتند. نمونه‌های تست کشش طبق استاندارد ASTM B557M و با طول سنجه ۲۵ mm و سطح مقطع (ضخامت  $\times$  ۶ mm) ماشین کاری و آماده شدند. اندازه‌گیری مقاومت به خوردگی تنشی به وسیله تست کشش با نرخ کرنش پایین (SSRT) در هوا و محلول ۳/۵٪ کلرید سدیم انجام شد. نمونه‌هایی مشابه تست کشش با کرنش معمول ماشین کاری و پولیش شد و با نرخ کرنشی معادل  $3 \times 10^{-9} \text{ Sec}^{-1}$  در دمای اتاق تست شدند. از میکروسکوپ الکترونی عبوری با مشخصات (A90, ۲۰۰K, ۲۰۰ TEM) و میکروسکوپ نوری با بزرگنمایی  $1200\times$  برای بررسی ریزاساختار استفاده شد.

تعدادی نمونه در ابتدا تحت عملیات نورد با مجموع کاهش در سطح مقطع ۷۰٪ طی چند مرحله، که کرنش در هر مرحله حدود ۲۰٪ بود، قرار گرفته ( $r_1$ ) و به همراه نمونه‌های نورد نشده، در کوره‌ای با دمای  $470^{\circ}\text{C}$  و با مدت زمان‌های ۱، ۲، ۳، ۴ و ۵ ساعت، تحت عملیات محلول‌سازی (Solution Treatment) قرار گرفتند (ST). دسته‌ای از نمونه‌ها در این مرحله مجددًا تحت عملیات نورد مشابهی با مرحله  $r_1$  قرار گرفته ( $r_2$ ) و به همراه دسته نمونه‌های نورد نشده، در دماها و زمان‌های مختلف (از ۸۰ تا  $200^{\circ}\text{C}$  درجه سانتی گراد و از ۱ تا ۲۰۰ ساعت) پیرسازی شده و تست سختی ویکرز بر روی آنها انجام شد. نمونه‌هایی که نتایج خوبی در تست سختی داشتند، تحت تست کشش یک بعدی با

جدول (۱): نتایج تست SSRT برای نمونه  $T_6$  و  $T_2+age$  ۴hr

	UTS (Mpa)		Elongation (%)		Esol/Eair
	In air	In 3.5% NaCl	In air	In 3.5% NaCl	
T6	۵۸۳	۵۷۶	۱۱/۲	۷/۵	۶۶/۹
4hr ST+r2+age at 140°C	۵۹۷	۵۸۹	۱۰/۷	۹/۹	۹۲/۵



شکل (۱-۳) (الف) نمودار ماکریم سختی به دست آمده بعد از پیرسازی بر حسب دماهای پیرسازی برای دو نمونه نورد شده و نورد نشده

(ب) نمودار سختی بر حسب زمان پیرسازی در دو دما (۱۱۰°C و ۱۴۰°C)، برای نمونه نورد شده و نورد نشده

و (ج) نمودار تنش-کرنش مهندسی نمونه های مذکور.

می رستد که این کاهش به دلیل ضربی نفوذ بالاتر نابجاگی های ایجاد شده در مرحله نورد قبل از محلول سازی، نسبت به زمینه آلیاژ است [۱۱]. گاهی انجام عملیات محلول سازی ناقص و باقی گذاشتن مقداری از رسوبات در زمینه و یا ایجاد رسوبات یکنواخت و نسبتا درشت

### ۳- نتایج و بحث

شکل (۱-a-f) تصویر ریزساختار نمونه ها را بعد از عملیات محلول سازی نشان می دهد. مشخص است که نمونه های ST، بعد از ۴ ساعت و نمونه های  $r_1+ST$  بعد از یک ساعت به ساختار محلول و یکنواخت که آمادگی ورود به مرحله بعد را داراست

سختی به دست آمده بعد از نورد را بین نمونه‌ها داشته است. ماکزیمم سختی‌های به دست آمده بر حسب دمای پیرسازی برای نمونه‌های  $4\text{hrST+r}_2\text{+age}$  در شکل (۳(a)) نمایش داده شده است. نمونه‌های  $4\text{hrST+age}$  در دمای  $110^{\circ}\text{C}$  ماکزیمم سختی به اندازه VHN ۲۱۴ داشته و مقدار این ماکزیمم، با گذراز دمای  $120^{\circ}\text{C}$ ، کاهش محسوس و شدیدی دارد، درحالی که در نمونه‌های  $4\text{hrST+r}_2\text{+age}$ ، ماکزیمم سختی بالاتری رخ می‌دهد، وابستگی مقدار ماکزیمم سختی به دمای پیرسازی کمتر شده، دیگر خبری از کاهش سختی بعد از دمای  $120^{\circ}\text{C}$  نیست و تنها در دماهای خیلی بالا شاهد افت محسوس سختی هستیم. شکل (۳(b)) نمودار سختی بر حسب مدت زمان پیرسازی را برای نمونه  $4\text{hrST+age}$  در دمای  $110^{\circ}\text{C}$  (که ماکزیمم سختی در حالت پیرسازی معمولی را نشان می‌دهد) و نمونه  $4\text{hrST+r}_2\text{+age}$  در دمای  $140^{\circ}\text{C}$ ، نشان می‌دهد. برای مقایسه، نمونه‌ای نورد نشده نیز در دمای  $140^{\circ}\text{C}$  پیرسازی شد. نمونه پیرسازی شده در دمای  $110^{\circ}\text{C}$  درجه با گذشت مدت زمان ۹۷ ساعت به ماکزیمم سختی خود می‌رسد و سپس با گذشت زمان کاهش سختی پیدا می‌کند. نمونه نورد شده و پیرسازی شده در دمای  $140^{\circ}\text{C}$  با گذشت تنها ۲ ساعت به ماکزیمم سختی معادل VHN ۲۱۵ رسیده و سختی آن در ادامه با نرخ کاهنده‌ای افت می‌کند. نمونه پیرسازی شده در دمای  $140^{\circ}\text{C}$  بروش معمول، با سرعتی نسبتاً زیاد به ماکزیمم سختی پیدا به مرتب کمتر از دو نمونه قبل می‌رسد و سپس افت سختی پیدا می‌کند. افت سختی برای نمونه  $4\text{hrST+age}$ ، در نمودار شکل (۳(a)) بیانگر این است که دما از محدوده دمای GP zoneSolves بالاتر رفته و از آنجایی که جوانهزنی رسوبات از مناطق GP شروع نشده، توزیع رسوبات نامناسب شده و در نتیجه افت شدید استحکام را بعد از دمای  $120^{\circ}\text{C}$  شاهد هستیم. در نمونه  $4\text{hrST+r}_2\text{+age}$  نابجایی‌ها جایگزین مناطق GP به عنوان

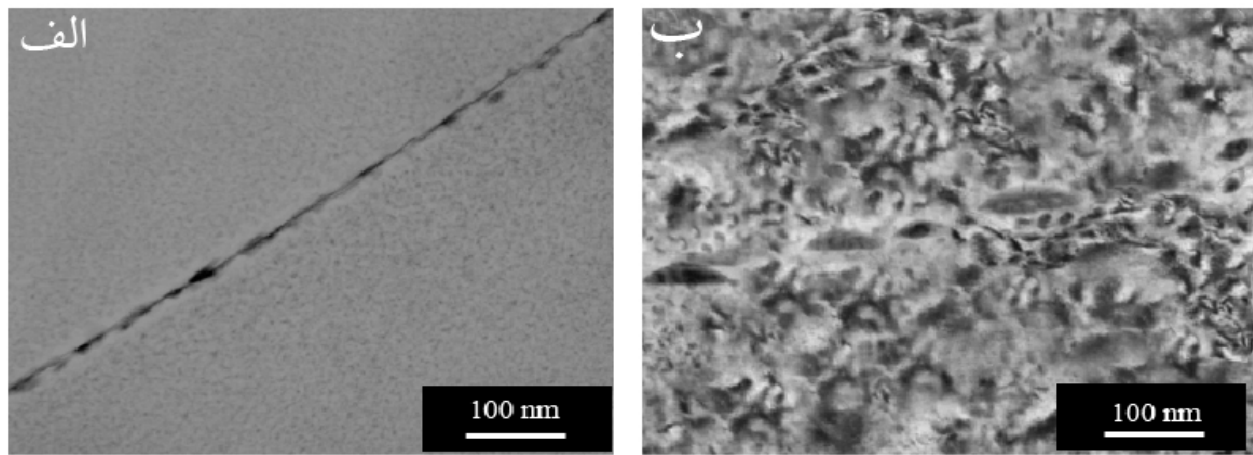
بعد از محلول‌سازی، در مرحله بعد و در حین عملیات نورد، موجب بالا بردن تغییر فرم موضعی در اطراف رسوبات باقی‌مانده و در نتیجه تولید نابجایی بیشتر در این نواحی می‌شود [۱] که می‌تواند در مرحله پیرسازی آخر مفید باشد.

شکل (۲(a)) نمودار سختی ایجاد شده بعد از نورد بر حسب میزان کرنش اعمالی در حین نورد را برای نمونه‌های محلول‌سازی شده در زمان‌های مختلف و همچنین دو نمونه که به منظور ایجاد رسوبات درشت، در دماهای بالا ( $170^{\circ}\text{C}$  و  $200^{\circ}\text{C}$ ) پیرسازی شده‌اند، نشان می‌دهد. مشخص است همه نمونه‌ها با افزایش کرنش نورد، سختی بالاتری پیدا می‌کنند و هر چه محلول‌سازی کامل‌تر و بهتر انجام شده باشد، این افزایش سختی بیشتر خواهد بود. نمونه‌های پیرسازی شده در دمای بالا، کمترین سختی‌ها را دارند. شکل (۲(b)) نمودار تنش-کرنش مهندسی را برای نمونه‌های ناقص و کامل محلول‌سازی شده و نیز نمونه پیرسازی شده در دمای بالا ( $200^{\circ}\text{C}$ ) نشان می‌دهد. شکل (۲(c)) نمودار نرخ کارسختی نرماله بر حسب کرنش پلاستیک حاصل از نتایج تست کشش را برای همان نمونه‌ها نشان می‌دهد. نرخ کارسختی که با حرف اختصاری  $\Theta$  نمایش داده می‌شود از منحنی تنش-کرنش و براساس معادله (۱) بدست می‌آید [۱۲].

$$\Theta = \frac{1}{\sigma} \times \left( \frac{\partial \sigma}{\partial \epsilon} \right). \quad (1)$$

مشاهده می‌شود که نرخ کار سختی در نمونه‌ای که کامل محلول‌سازی شده، از همه بیشتر و نمونه پیرسازی شده در دمای بالا از همه کمتر است. نرخ کارسختی بالاتر نمونه کامل محلول‌سازی شده در نمودار شکل (۲(c)) بیانگر این است که حل شدن رسوبات فاز ثانویه در زمینه، در بالا بردن نرخ کارسختی و در نتیجه سختی به دست آمده بعد از نورد، عامل مؤثرتری است.

نمونه پیرسازی شده در دمای بالا، به علت قیر بودن زمینه از عنصر آلیاژی، کمترین نرخ کارسختی و در نتیجه کمترین



شکل (۴): تصویر TEM مرزدانه و مناطق مجاور آن برای نمونه (الف) T<sub>6</sub> و (ب) ۴hr ST+r<sub>2</sub>+age.

شکل (۳(c)) نشان داده شده است. نمونه نورد شده و سپس پیرسازی شده در حالی که نرخ کارسختی و درصد افزایش طول مشابه با نمونه پیرسازی شده به روش معمول نشان می‌دهد، از استحکام تسليم و کشش بالاتری نسبت به آن برخوردار است. مقایسه تست کشش دو نمونه فوق مشخص می‌کند که این افزایش استحکام، کاهش درصد افزایش طول به همراه ندارد و دو نمونه تقریباً از چکش خواری یکسانی بهره‌مند می‌باشند. جدول (۱) نتایج تست SSRT را برای نمونه T<sub>6</sub> و نمونه ۴hrST+r<sub>2</sub>+age در دمای ۱۴۰°C نشان می‌دهد. افزایش طول یکنواخت نمونه‌ها در هوای در محیط محلول نمکی نشان داده است. مشاهده می‌شود که هر دو نمونه از دیدار طول تقریباً مشابهی در دمای محیط از خود نشان می‌دهند. نسبت  $E_{sol}/E_{air}$  به عنوان معیار مقاومت به مقاومت به SCC در نظر گرفته شد که هرچه این مقدار به ۱ نزدیک‌تر باشد مقاومت به SCC بالاتر است. نمونه ۴hrST+r<sub>2</sub>+age مقاومت به SCC شکل (۴) تصویر TEM مرزدانه‌ها را در دو نمونه فوق نشان می‌دهد. در نمونه ۴hrST+r<sub>2</sub>+age، رسوبات روی مرزدانه نسبتاً درشت‌تر و فواصل آن‌ها بیشتر است و از آنجایی که رسوبات نسبت به مناطق عاری

مکان‌های جوانه زنی رسوبات شده و واپستگی نمونه به دمای GP zone Solves را از بین می‌برند و دیگر شاهد کاهش سختی در آن محدوده دمایی نخواهیم بود. تنها در دماهای بالا، به علت پیش افتادن تبلور مجدد نسبت به فرآیند پیرسازی، نابجایی‌ها قبل از ایفای نقش خود به عنوان مکان جوانه‌زنی، از بین می‌روند و شاهد کاهش استحکام می‌باشیم.

آخرین دمایی که در آن سختی قابل قبولی داریم دمای ۱۴۰°C با سختی VHN ۲۱۵ است که نسبت به ماکزیمم سختی نمونه نورد نشده در همین دما (۱۵۶ VHN) حدود ۳۸٪ افزایش نشان می‌دهد. نمونه نورد شده، به علت ضربه نفوذ بالاتر نابجایی‌ها و نیز داشتن قابلیت پیرسازی در دماهای بالاتر، تنها با گذشت دو ساعت در دمای ۱۴۰°C به ماکزیمم سختی خود می‌رسد در حالی که این مدت زمان برای رسیدن به ماکزیمم سختی در نمونه‌های پیرسازی شده در دمای ۱۱۰°C و ۱۴۰°C به روش معمول به ترتیب ۹۷ و ۱۲ ساعت به طول می‌انجامد در ضمن اینکه ماکزیمم سختی در نمونه پیرسازی شده در دمای ۱۴۰°C درجه به روش معمول بسیار پایین‌تر از نمونه نورد شده است شکل (۳(b)). نمودار تنش-کرنش مهندسی برای دو نمونه ۴hrST+r<sub>2</sub>+age در ۱۱۰°C و ۱۴۰°C در ضمん ۴hrST+age در ۱۱۰°C و ۱۴۰°C در

## ۵- مراجع

- [1] Polmear.I, Light alloys, 4<sup>th</sup> Ed., Butterworth-Heinemann, Oxford, pp. 240-245,2006.
- [2] F. Viana, A.M.P. Pintob, H.M.C. Santosa, A.B. Lopesc,'Retrogression and re-ageing of 7075 aluminium alloy: microstructural characterization', Materials Processing Technology, 92, 54-59, 1999.
- [3] D.Wang, D.R. Ni, Z.Y. Ma, 'Effect of pre-strain and two-step aging on microstructure and stress corrosion cracking of 7050 alloy', Materials Science and Engineering A, 494, 360-366, 2008.
- [4] Hyoung-Wook Kim, Suk-Bong Kang, Nobuhiro Tsuji and Yoritoshi Minamino, 'Elongation increase in ultra-fine grained Al-Fe-Si alloy sheets', Acta Materialia, 53 (2005) 1737-1749 .
- [5] David Witkin, Z. Lee, R. Rodriguez, S. Nutt and E. Lavernia, "Al-Mg alloy engineered with bimodal grain size for high strength and increased ductility", Scripta Materialia, 49 (2003) 297-302 .
- [6] Lee YB, Shin DH, Park KT and Nam WJ, "Enhancement of high strain rate superplastic elongation of a modified 5154 Al by subsequent rolling after equal channel angular pressure", Scripta Materialia, 51, 55-60, 2004.
- [7] Kunihiro Ohashi, Takeshi Fujita, Kenji Kaneko, Zenji Horita and Terence G. Langdon, "The aging characteristics of an Al-Ag alloy processed by equal-channel angular pressing", Materials Science and Engineering A, 420-247 ,2006.
- [8] W. J. Kim, C. S. Chung, D. S. Ma, S. I. Hong and H. K. Kim, "Optimization of strength and ductility of 2024 Al by equal channel angular pressing (ECAP) and post-ECAP aging", Scripta Materialia, 49, 333-338 ,2003.
- [9] N.Gao and et al, "Influence of prior deformation on the age hardening of a phosphorus containing Cu-0.61wt%Cr alloy", Materials Science and Engineering A, 270-278, 2003
- [10] S. K. Panigrahi and R.Jayaganthan, "Astudy on the mechanical properties of cryorolled Al-Mg-Si alloy", Materials Science and Engineering A, 139-145, 2007.
- دیوید-آ-پورتر و کنث- ای- ایسترلینگ، دگرگونی فازها در فلزات و آلیاژها، ترجمه دکتر ابوالقاسم دهقان، دکتر عباسعلی نظربلند و دکتر بابک هاشمی، ۱۳۸۵ شیراز، انتشارات دانشگاه شیراز.
- [1] Dieter GE, Mechanical metallurgy, 3<sup>rd</sup> Ed., McGraw Hill, pp 289, 1986.
- [2]

از رسوب مجاور مرزدانه (PFZ) آند محسوب می شوند، بزرگ شدن آنها سطح مناطق الکترونده را بیشتر کرده و خوردگی آنها را کندر می کند. علاوه بر این منطقه PFZ در نمونه ۴hrST+r<sub>2</sub>+age نسبت به نمونه T<sub>6</sub> کوچکتر است که علت آن بالاتر بودن ضربی نفوذ نابجایی نسبت به bulk باعث می شود نسبت رسوبات روی مرزدانه به رسوبات داخل دانه، در نمونه ۴hrST+r<sub>2</sub>+age ۴ کمتر از نمونه T<sub>6</sub> باشد و در مجموع در نمونه ۴hrST+r<sub>2</sub>+age کاتد کوچکتر و آند بزرگتری SCC نسبت به نمونه T<sub>6</sub> داریم که منجر به بالا رفتن مقاومت به می شود.

## ۴- نتیجه گیری

دانسته بالایی از نابجایی ها که به وسیله یک مرحله نورد سرد قبل از عملیات پیرسازی ایجاد می شود، می تواند جایگزین مناسبی برای مناطق GP به عنوان مکان های جوانه زنی رسوبات فاز ثانویه باشد، که امکان پیرسازی در دماهای بالاتر با مدت زمان کوتاه تر را به ما می دهد و ایجاد رسوبات درشت تر با فاصله بیشتر را به همراه دارد که این امر منجر به بالا رفتن مقاومت به SCC آلیاژ می شود.

وجود نابجایی ها، به علت داشتن ضربی نفوذ بالاتر از bulk باعث ایجاد منطقه Z کوچکتر برای نمونه هایی که پیش از پیرسازی نورد شده اند می شود. عملیات محلول سازی ناقص و یا ایجاد رسوبات درشت به وسیله پیرسازی در دمای بالا، از آنجایی که باعث می شود رسوبات، کامل در زمینه حل نشوند و در نتیجه آلیاژ نرخ کارسختی کمتری داشته باشد، تاثیر مثبتی در سختی به دست آمده بعد از عملیات نورد ندارد. انجام یک مرحله نورد، قبل از عملیات محلول سازی به علت ایجاد شبکه ای از نابجایی ها، منجر به تسريع در نفوذ و کاهش مدت زمان مدت زمان محلول سازی به یک چهارم زمان معمول می شود.